



DX-MB 2333 – 21. Dezember 2022

DX Mitteilungsblatt

DARC-Referat DX

Editor: Andreas Salder, DK5ON

(E-Mail: dxmb@darcdxhf.de)

(<https://www.darc.de/der-club/referate/dx/>)



Wöchentlich erscheinende DX-Mitteilungen des DARC – Referates DX



*Das DX-MB wünscht Ihnen
wunderschöne Weihnachtstage,
Glück und Zufriedenheit!*

DX-Aktivitäten

4X, ISRAEL:

Der Israel Amateur Radio Club (I.A.R.C) freut sich, die XMAS- und HANUKA-Aktivitäten 2022 anzukündigen. Das Programm umfasst zahlreiche Stätten mit einer wichtigen Verbindung zum Christentum, die jedem Christen bekannt sind und auf der Sprache und den Zitaten aus den heiligen Büchern, der christlichen Tradition, dem Glauben und dem Erbe sowie gut dokumentierter Archäologie und anderen Forschungen basieren. Dies ist das fünfte Jahr des Programms, und die Aktivität wird während der Weihnachtszeit vom 23. bis 25. Dezember 2022 durchgeführt.

Operator unter dem Sonderrufzeichen **4X9XMAS** - LATRUN sind: 4Z1AR/Amir, 4X1ST/Tim, 4X5ZS/Zeev, 4Z4UO/Omer, 4X4KX/Zeban, 4Z4DX/Dov und 4X1RE/Eyal

Operator unter dem Sonderrufzeichen **4X8XMAS** - BEIT Jamal sind: 4Z1DZ/Chanan, 4X1YA (ex 4X6YA)/Hilik, 4X1BQ/Yosi, 4Z1VJ/Tamir, 4X4RD/Arnon, 4X5EH/Dekel und SWL rev Yochanan

Operator unter dem Sonderrufzeichen **4X7XMAS** ist 4X6ZM/Udi, 4Z5SL/Danny und 4X4ZP/Ron

Die Besucher des Klosters LATRUN **4X9XMAS** kommen nicht nur, um in Ruhe zu kontemplieren und einen Blick in die Kirche zu werfen, sondern auch, um Olivenöl und Wein zu kaufen, die von den Mönchen des Klosters hergestellt werden. Französische Trappistenmönche gründeten das Kloster im Jahr 1890 und begannen mit der Bewirtschaftung des

Landes. Während des Ersten Weltkriegs verließen sie die Anlage, kehrten aber 1926 zurück und errichteten den heutigen Klosterkomplex aus Sandstein mit seinen eleganten Torbögen, katedralen ähnlichen Fenstern und Blumengärten, die alle von hohen Mauern umgeben sind.

Auszeichnung unter <http://iarc.org/livelog/>

Voraussetzung für eine Auszeichnung in dieser speziellen Operation sind 2 QSO's mit zwei verschiedenen Stationen (Rufzeichen) aus den 4 aktiven 4X7XMAS, 4X8XMAS, 4X9XMAS und HANUKA - 4Z8NER Stationen.

Papier-QSL-Karten über Udi/4X6ZM, eQSL oder LoTW

6W, SENEGAL:

Earl/WA3DX wird in Rahmen seines Familienurlaubs vom 22.12. bis zum 20.1. aus mehreren Orten im Senegal ein interessanter QSO-Partner. Aus Dakar ist er mit dem Rufzeichen **6W1/WA3DX**, aus Mbao unter **6W6/WA3DX** und unter **6W9/WA3DX** aus Kaolack und Marloj Island im Saloum Delta hauptsächlich auf 20m aber auch auf 40m bis 10m in SSB und FT8 QRV. Die Insel zählt aber nicht für IOTA. QSL via WA3DX (d)

FY, FRANZÖSISCH-GUAYANA:

Pierre-Jean/F4GPK wird vom 26.12.-8.1. auf dem Kurzwellenbändern unter dem Rufzeichen **FY/F4GPK** von Französisch-Guayana, dem Weltraumbahnhof von aus Kourou im Urlaubsstyle QRV sein. QSL nur direkt (2\$) oder eQSL



DX-MB vom 21. Dezember 2022, Nummer 2333

Die deutsche Text-Version finden Sie auf unserer Homepage:

<https://www.darc.de/der-club/referate/dx/dxmb/>



K, USA:

Der "Original"-Weihnachtszug wird am 11. Dezember 2022 den Betrieb unter dem Rufzeichen **K8C** aufnehmen. Die Frequenzen werden auf 80, 40, 20, 17, 15, 12 und 10 Metern zur Verfügung stehen, sofern die SSB- und CW-Ausbreitung dies zulässt. Geplant ist auch ein teilweiser Betrieb des Zuges am 25. Dezember 2022. Der Weihnachtszug ist ein virtueller Zug (kein echter Zug), dessen Zweck es ist, die freundliche, gute und fröhliche Stimmung, die die Weihnachtszeit mit sich bringt, mit den Amateuren zu teilen. QSL (d) mit SASE und 2\$ oder über QRZ.



OE, AUSTRIA:

Vom 12.12. bis zum 31.12. ist das Sonderrufzeichen **4U1XMAS** der Vereinten Nationen aus Wien aktiviert vom ARCDXC Club auf den Bändern QRV. QSL via UA3DX

INTERNATIONAL AMATEUR RADIO CONTEST DX CLUB (ARCDXC) - 4U1A



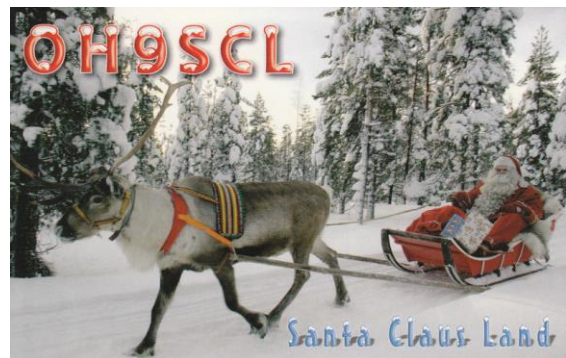
OH, FINLAND:

Die Sonderstation des Weihnachtsmanns, Santa Radio wird unter dem Rufzeichen **OF9X** (Old Father **NINE** XMAS) wieder vom 16. bis zum 31.12. auf allen Amateurfunkbändern und in CW, SSB und Digital QRV. QSL via OH2BH



OH, FINLAND:

Vom Polarkreis ist **OH9SCL** im Dezember auf den Kurzwellen Bändern QRV. QSL via (d) oder LoTW



OH, FINLAND:

Bis zum 26.12. ist auch **OH1XMAS** aus Finnland auf den Bändern in der Luft. QSL via (B)

TI, COSTA RICA:

Joe/VE3BW wird vom 23.12. bis zum 3.1. von Las Villas del Guayabo unter dem Rufzeichen **T17/VE3BW** auf 160m bis 6m in CW, SSB und FT8 arbeiten. QSL an sein H/c, ClubLog OQRS oder LoTW

V3, BELIZE:

Oliver/DJ5QW plant zwischen Dezember und März 2023 unter dem Rufzeichen **V31TX** von Belize aus in CW von 160 bis 10m QRV zu sein. QSL via DJ5QW (B)



VU, INDIEN:

Im Rahmen des POTA (Parks On The Air) Programmes ist eine Gruppe indischer Funkamateure vom 15.12. von verschiedenen Standorten in Indien unter dem Rufzeichen **AU2SOA** (Santa On Air). Die Aktion dauert bis zum 31.12. Alle Verbindungen werden über eQSL bestätigt.



YO, ROMANIA:

Der Weihnachtsmann kommt im Dezember auch wieder aus dem YO8-Land und ist mit dem Sonderrufzeichen **YP8XMAS** QRV. Es gibt auch weitere YP(x)XMAS Sonderrufzeichen im Dezember. QSL via YO2MSB (d/B).



VO, ROMANIA:

Vom 1. Dezember 2022 bis zum 30. Juni 2023 ist das Sonderrufzeichen **YR1200VT** auf den Bändern QRV. Es soll auf den Fernwanderweg „Via Transilvanica“ aufmerksam machen auf dem man auf 1400 km Rumänien von Putna (im nordwestlichen Teil der Republik Moldau) bis Drobeta Turnu-Severin (eine Stadt im westlichen Teil der Walachei) durchquert und durch mehr als 400 Gemeinden führt. Zu dieser Aktivität gibt es ein Sonderdiplom. Mehr dazu in

der Rubrik Kurzzeit Diplome auf Kurzwelle in dieser Ausgabe. QSL via eQSL oder qrz.com

ZA, ALBANIA:

Ron/NS5K ist derzeit in Albanien und ist beruflich als Missionar in Lushnje, In seiner Freizeit wird er für mehrere Monate in SSB, hauptsächlich auf 40m und 20 m unter dem Rufzeichen **ZA15K** QRV sein. Es gibt keine QSL-Informationen.

Insel – Aktivitäten



Zusammengestellt von Andreas, DK5ON
(E-Mail: dk5on@darcd.de)

IOTA-Vorzugsfrequenzen

CW: 28040 24920 21040 18098 14040 10114
7030 3530 kHz

SSB: 28560 28460 24950 21260 18128 14260
7055 3760 kHz

AS-031; JD, CHICHI / HAHA / MUKO ISLANDS:

Harry/JG7PSJ wird vom 24.12. bis zum 23.1. von Chichiyama Island (AS-031) in CW, SSB und RTTY auf 40m bis 10m unter **JD1BMH** QRV sein. QSL via JG7PSJ (d/B)



SA-099; PJ2, CURACAO:

Auf seiner Reise durch die Niederländischen Antillen werden Heli/DD0VR und Bigi/DE3BWR von der Insel Curacao vom 23.12. bis zum 5.1. auf 20m, 15m und 10 m in SSB, FT4/8 unter **PJ2/DD0VR** QRV sein. QSL via DD0VR (d/B)

POTA-Aktivitäten



Parallel zu dem WWFF-Programm gibt es auch ein „Parks On The Air® (POTA)“ Programm. Dieses beinhaltet auch Referenzen der Parks und ein Diplomprogramm. Mehr Informationen auf der Homepage <https://parksontheair.com/>

K-1947, Dillon State Park

Jon/**K8LU** plant am 21.12. eine Aktivität im Dillon State Park in der Zeit von 1600 UTC bis 1859 UTC auf 20m SSB und evtl. auch in FT8. Ein QSY auf andere Bänder ist nicht ausgeschlossen. QSL via LoTW

K-6425, Diamond Head State Preserve

Am 21.12. ist Michael/**K0FYR** auf den Bändern 20m, 15m, 12m und 10m von 1800 UTC bis 2359 UTC in SSB und evtl. FT8 QRV. QSL via 2022-12-21 18:00 to 2022-12-21 23:59 UTC SSB, FM, Possibly FT8



K-3053, San Angelo State Park

Aus dem San Angelo State Park ist Matt/**K5NON** vom 22.12. 2200 UTC bis zum 28.12. 2357 UTC auf 15m, 17m, 20m, 30m und 40m mit 100W in SSB und evtl. mit 5-10W in FT8 im Urlaubsstyle QRV. QSL via K5NON (d/B)

K-4571, Juan Bautista de Anza National Historic Trail

Der Tortolita Radio Club ist mit dem Rufzeichen **KT7RC** am 22.12. von 1530 UTC bis 1730 UTC auf 20m nur in CW in der Luft. QSL nur via LoTW



K-0021, Death Valley National Park

Brian/**N6RZR** ist vom 23.12. 2200 UTC bis zum 04.01.23 1500 UTC aus dem Death Valley National Park auf den Bändern 80m, 40m, 30m, 20m, 15m, 10m hauptsächlich in FT8 QRV. QSL via LoTW

VE-1148, Sandy Beach Regional Park

Am 24.12. von 0200 UTC bis 0500 UTC ist Michael/**VA6MWA** auf 17m, 20m, 40m und 80m in FT4/8 QRV. QSL via VA6MWA (d/B)



F-0595, Caps et Marais d'Opale Regional Park

Leo/**PA2LK** plant vom 25.12.22 1001 UTC bis zum 06.01.23 1700 UTC eine Aktivität auf den Kurzwellen Bändern unter F/**PA2LK** in CW, SSB und hauptsächlich in FT8. QSL via PA2LK (d/B)

Kurzzeit Diplome auf Kurzwelle

SANTA PUZZLE von OF9X

Drei (3) plus vier (4) Buchstaben xxAxA xxxAlxI

In diesem Rätsel werden die Buchstaben I und A mehrfach dargestellt, während die anderen sieben (7) Einzelbuchstaben als Teil des von OF9X erhaltenen Berichts veröffentlicht werden, z. B. 599RA. Der **erste Buchstabe** ist der Name des Betreibers und der **zweite** ist

einer der sieben verschiedenen Rätselbuchstaben.

Santa Radio, **OF9X**, wird vom Radio Club of Pusula, OH9W, sowie dessen Mitarbeitern und Northern Radio Arcala, OH8X, betrieben.

Die Betreiberliste enthält viele bekannte Rufzeichen: Rami, OH2BCI (**R**), Martti, OH2BH (**M**), Era, OH2CV (**E**), Arttu, OH2FB (**U**), Arto, OH2KW (**O**), Juha, OH2LQ (**J**), Pekka, OH2TA (**P**), Anne, OH2YL (**A**), Pauli, OH5BQ (**L**), Timo, OH5LLR (**T**), Alex, UT5UY (**X**) und andere.

Die zusätzlichen Fragen und das ausgefüllte Rätsel sollten an of9x@sral.fi geschickt werden - die Top-10 werden auf OF9X QRZ.com bis zum 01.01.2023 vorgestellt und ausgezeichnet.

Fröhliche Weihnachten
OF9X, Old Father Nine Xmas



AMATEUR RADIO AWARD Via Transilvanica

ZEITRAUM: Dezember 2022 bis 30. Juni 2023.
MODE: SSB und CW
CW-Geschwindigkeit: 14 wpm oder weniger, wir verwenden keine CW-Decoder.
BÄNDER: 160m, 80m, 40m, 30m, 20m, 17m, 15m, 10m und 6m.
Ein Slot ist ein Funkkontakt im gleichen Band, Modus und Monat.
Ein Funkkontakt auf demselben Band und in derselben Betriebsart kann im folgenden Monat wiederholt werden. Er zählt nur einmal pro Monat.

Es gibt 119 SLOTS, wie in der Tabelle unten dargestellt, 17 Slots für jeden Monat, beginnend mit Dezember 2022 und endend am 30. Juni 2023.

Slots: Band/Mode /Month	160m 14 slots	80m 14 slots	40m 14 slots	30m 7 slots	20m 14 slots	17m 14 slots	15m 14 slots	10m 14 slots	6m 14 slots
December Slots 1-17	160m SSB	80m SSB	40m SSB	xxx	20m SSB	17m SSB	15m SSB	10m SSB	6m SSB
	160m CW	80m CW	40m CW	30m CW	20m CW	17m CW	15m CW	10m CW	6m CW
January Slots 18-34	160m SSB	80m SSB	40m SSB	xxx	20m SSB	17m SSB	15m SSB	10m SSB	6m SSB
	160m CW	80m CW	40m CW	30m CW	20m CW	17m CW	15m CW	10m CW	6m CW
February Slots 35-51	160m SSB	80m SSB	40m SSB	xxx	20m SSB	17m SSB	15m SSB	10m SSB	6m SSB
	160m CW	80m CW	40m CW	30m CW	20m CW	17m CW	15m CW	10m CW	6m CW
March Slots 51-68	160m SSB	80m SSB	40m SSB	xxx	20m SSB	17m SSB	15m SSB	10m SSB	6m SSB
	160m CW	80m CW	40m CW	30m CW	20m CW	17m CW	15m CW	10m CW	6m CW
April Slots 69-85	160m SSB	80m SSB	40m SSB	xxx	20m SSB	17m SSB	15m SSB	10m SSB	6m SSB
	160m CW	80m CW	40m CW	30m CW	20m CW	17m CW	15m CW	10m CW	6m CW
May Slots 85-102	160m SSB	80m SSB	40m SSB	xxx	20m SSB	17m SSB	15m SSB	10m SSB	6m SSB
	160m CW	80m CW	40m CW	30m CW	20m CW	17m CW	15m CW	10m CW	6m CW
June Slots 102-119	160m SSB	80m SSB	40m SSB	xxx	20m SSB	17m SSB	15m SSB	10m SSB	6m SSB
	160m CW	80m CW	40m CW	30m CW	20m CW	17m CW	15m CW	10m CW	6m CW

Es gibt vier verschiedene Kategorien, abhängig von der Anzahl der Slots (oder SWL-Berichte im Fall von Kurzwellenhörern).

1. BRONZE-DIPLOM:

Für europäische Stationen mindestens 7 Kontakte mit der Station YR1400VT in verschiedenen Bändern/Modi/Monaten (7 verschiedene Slots).
Mindestens 4 verschiedene Slots für Stationen aus anderen Kontinenten.

2. SILBER-DIPLOM:

Für europäische Stationen mindestens 14 Kontakte mit der Station YR1400VT in verschiedenen Bändern/Modi/Monaten (14 verschiedene Slots).
Mindestens 8 verschiedene Slots für Stationen aus anderen Kontinenten.

3. GOLD DIPLOM:

Für europäische Stationen mindestens 21 Kontakte mit der Station YR1400VT in verschiedenen Bändern/Modi/Monaten (21 verschiedene Slots).
Mindestens 12 verschiedene Slots für Stationen aus anderen Kontinenten.

4. SWL DIPLOM:

Mindestens 50 empfangene Kontakte in 3 oder mehr verschiedenen Bändern, mindestens 10 QSOs pro Band. Insgesamt mindestens 50 empfangene QSOs. Das SWL-Log muss per E-Mail gemäß den untenstehenden Anforderungen gesendet werden.

Die Diplome werden kostenlos im PDF-Format per E-Mail zur Verfügung gestellt.

Sie erhalten sie innerhalb von 30 Tagen nach Antragstellung, sofern Sie die Bedingungen für den Erhalt des Diploms erfüllen und das Log korrekt ausgefüllt haben.

Auf allen Diplomen werden der Name und das Rufzeichen des Antragstellers angegeben.

Ein spezielles Diplom wird an alle Stationen vergeben, die alle 17 Hauptslots (9 Bänder/2 Modi) absolviert haben.

Jeder Band-/Modus-/Monatskontakt zählt nur einmal, doppelte Kontakte im selben Monat werden nicht berücksichtigt. Wiederholte QSOs werden empfohlen, wenn Sie sich nicht sicher sind, ob das QSO ordnungsgemäß durchgeführt wurde.

ANFORDERUNGEN:

Logs müssen nach dem 15. März 2023, spätestens jedoch bis zum 10. Juli 2023, im Cabrillo-Format an yr1400vt@yahoo.com gesendet werden, und das Diplom wird dem Antragsteller per E-Mail zugesandt.

Das Logbuch MUSS für jeden Kontakt die folgenden Informationen enthalten: korrektes Datum und Uhrzeit in UTC, Frequenz (oder Band), Rufzeichen, gesendeter Austausch und empfangener Austausch.

Die QSOs müssen in chronologischer Reihenfolge aufgezeichnet werden.

Logs, die nach dem 10. Juli 2023 eingereicht werden, können nicht mehr prämiert werden.

Das Log kann auch mit Notepad in eine TXT-Datei geschrieben werden, die an die E-Mail angehängt wird. Der Titel der Datei kann das Rufzeichen sein,

SWLs können ihre Logs bis zum 10. Juli 2023 auch an yr1400vt@yahoo.com schicken, und ihr Diplom wird per E-Mail zugesandt. Sie müssen ihr SWL-Rufzeichen, ihren Namen, ihren Nachnamen und auch die vollständigen Rufzeichen, die sie für jedes QSO erhalten haben, angeben.

Informationen unter:

<https://yo6kgs.blogspot.com/2022/11/via-transilvanica-yr1400vt-special-event.html>

KW Conteste

Termine Dezember 2022:

26.12. DARC Weihnachtswettbewerb
0830 - 1059 UTC
CW/SSB

Die Ausschreibungen finden Sie ebenfalls auf <http://www.darc.de/der-club/referate/conteste/> sowie mittels der Contest Termin-Tabelle in der CQ DL 12/2022 auf Seite 62.

Kalender

von	- bis	DX	DX-MB
01.07.	-	3A/F6EXV	2308
01.07.	-	3A/PB8DX	2308
20.01.	-	3B8HH	2285
	-	3C3CA	2322
25.03.	-	3X1A	2303
	-	3Z30PAR	2332
12.12.	- 31.12.	4U1XMAS	2333*
23.12.	- 25.12.	4X7XMAS	2333*
23.12.	- 25.12.	4X8XMAS	2333*
23.12.	- 25.12.	4X9XMAS	2333*
08.22	-	5H2JK	2313
23.11.	-	5H3SE	2329
	-	5H5PJ	2332
21.09.	- 31.12.	5H8HZ	2330
18.04.	-	5P0WARD	2297
17.06.	-	5R8BM	2308
16.11.	-	5V7JA	2328
01.12.	-	5W0RS	2330
01.05.	-	5X7W	2301
01.01.	- 31.12.	6F6F	2284
16.06.	-	6O1OO	2307
22.12.	- 20.01.23	6W1/WA3DX	2333*
22.12.	- 20.01.23	6W6/WA3DX	2333*
22.12.	- 20.01.23	6W9/WA3DX	2333*
27.11.	- 11.01.23	6Y5/W8YCM	2330
01.12.	- 11.01.23	6Y8LV	2331
06.22	-	7P8AB	2306
06.22	-	7P8NB	2306
	- 31.03.23	8J1H90T	2330
13.12.	- 22.12.	8Q7CA	2331
22.05.	-	9G5XA	2304
	- 06/22	9J2MYT	2279
01.10.	-	9J2SEU	2322
11/21	-	9N7AA	2306
25.04.	-	9N7CI	2300
25.04.	-	9N7WE	2300
15.11.	- 31.12.	9M100SK	2329
01.10.	-	A65/DL2RMC	2321



15.12.	-	12/23	AT42I	2332
15.12.	-	31.12.	AU2SOA	2333*
28.11.	-	24.02.23	C5YK	2331
01.05.	-		C83YT	2301
	-		C91CCY	2322
18.11.	-	20.12.	CN22CWQ	2329
03.01.23	-	21.01.23	D44TWO	2332
01.01.	-	31.12.	DB5ØAFZ	2283
01.01.	-	31.12.	DF4ØBGK	2283
20.02.	-	19.02.23	DKØHN	2285
01.10.	-	31.12.	DK0SY	2322
01.01.	-	31.12.	DKØ5ØBN	2283
01.01.	-	31.12.	DK65DEL	2285
01.01.	-	31.12.	DLØHO	2284
26.01.	-	25.01.23	DLØOF	2288
07.05.	-	06.05.23	DL1640Y	2312
01.01.	-	31.12.	DL6ØLINDAU	2283
01.01.	-	31.12.	DL7ØWOB	2283
01.01.	-	31.12.	DL73AFUG	2283
01.01.	-	31.12.	DL75DRG	2283



01.01.	-	31.12.	DL75HIL	2282
01.01.	-	31.12.	DL75HES	2291
01.01.	-	31.12.	DL75OBY	2285
01.01.	-	31.12.	DL75RLP	2288
01.01.	-	31.12.	DP44N44T	2284
	-	31.12.	DR100RY	2320
01.10.	-	30.09.23	DR45HAAN	2330
01.01.	-	31.12.	DR5ØBAWA	2305
01.12.	-	25.12.	EG3HAM	2330
01.12.	-	31.12.	EH6FPM	2331
01.01.	-	31.12.	EI9ØIRTS	2282
	-		EX0ET	2332
01.09.	-	01.04.24	FH4VVJ	2314
01.09.	-	01.04.24	FH4VVK	2317
15.10.	-		FJ4WEB	2324
07.22	-		FO5QS	2312

	-	31.12.22	FS/KC9FFV	2298
	-	03.23	FT4YM	2324
	-	02.24	FW1JG	2287
26.12.	-	08.01.23	FY/F4GPK	2333*
01.01.	-	31.12.	GB1ØØBBC	2282
14.01.	-	23.12.	GB19ØØHA	2285
14.01.	-	23.12.	GB19ØØHW	2285
01.01.	-	31.12.	H32AT	2290
01.01.	-	31.12.	HB5ØSH	2283
01.07.	-	31.12.	HB75SG	2308
15.03.	-	15.03.23	HG2ØØAN	2293
15.03.	-	15.03.23	HG2ØØDO	2293
15.03.	-	15.03.23	HG2ØØEF	2293
15.03.	-	15.03.23	HG2ØØIR	2293
15.03.	-	15.03.23	HG2ØØOT	2293
15.03.	-	15.03.23	HG2ØØPS	2293
	-		HK3/F4AHV	2332
25.07.	-	15.05.23	HK3JCL	2307
23.11.	-	13.03.23	HR5/F2JD	2329
06.11.	-	02.04.23	HS0ZME	2326
01.12.	-	31.12.	II1MM	2330
	-	06.23	J28HJ	2311
	-		J28RC	2315
08.22	-		J5JUA	2323
01.10.	-			
24.12.	-	23.01.23	JD1BMH	2333*
14.05.	-		K4RC	2301
11.12.	-	25.12.	K8C	2333*
12/22	-	12/23	KC4AAC	2332
18.12.	-	21.12.	KP4/KC0BLK	2332
01.01.	-	31.12.	LA1ØØB	2283
	-	31.12.	LZØ1MLN	2277
01.01.	-	31.12.	LZ1GLASS	2285
23.04.	-		OE22M	2298
01/23	-	06/23	OE40XTU	2332
16.12.	-	31.12.	OF9X	2333*
28.11.	-	26.12.	OG1XMAS	2331
	-	26.12.	OH1XMAS	2333*
01.03.	-	31.12.	OR1ØØRCBE	2290
01.01.	-	31.12.	OZ5ØDDXG	2282
16.12.	-	23.12.	P4/DD0VR	2332
01.12.	-	31.12.	PA22XMAS	2330
01.12.	-	31.12.	PD22SANTA	2330
01.12.	-	31.12.	PD23HNY	2330
01.01.	-	31.12.	PI75LIM	2287
23.12.22	-	05.01.23	PJ2/DD0VR	2333*
01.01.	-	31.12.	PX2Ø22BR	2282
24.10.	-	24.03.23	RI1ANU	2324
	-		RI41POL	2321
01.05.	-		S035S	2301
01.01.	-	31.12.	SK50EI	2284
01.12.	-	31.12.	SX338M	2330
01.07.	-	31.12.	TI1GOAL	2313
23.12.	-	03.01.23	TI7/VE3BW	2333*
	-		TI8/F4AHV	2332
15.01.	-	31.12.	TMØCR	2286
10.12.	-	21.12.	TM200LP	2330
27.12.	-	29.12.	TM200LP	2330
26.12.	-	30.12.	TM8AB	2330
	-		TO5Z	2328

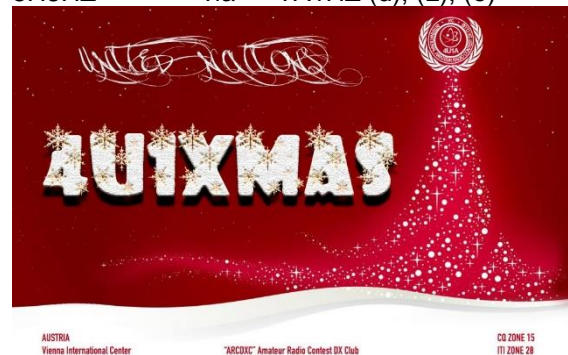
	-	06/23	TT8SN	2320
	-		TZ4AM	2311
12/22	-	03/23	V31TX	2333*
18.10.	-		V55WH	2324
06.2022	-		V73MS	2306
31.10.	-		V85NPV	2329
01.01.	-	31.12.	VK9ØABC	2287
	-	04/23	VK9WX	2331
2.1.23	-	31.03.23	VP2MDX	2300
	-		VP5MA	2302
01.12.	-	01.23	VP8/SQ1SGB	2331
	-		VP8AAE	2320
23.09.	-	12.22	VP8DLB	2324
12/22	-	01/23	VP8RAF	2332
12/22	-	01/23	VP8TAA	2332
14.05.	-		W1M	2301
	-	14.01.23	WA5LFD/p	2330
	-	31.12.	XI0X	2296
02.12.	-	23.12.	XW4KV	2331
21.08.	-		XZ2A	2316
25.06.	-		XZ2B	2309
	-	12/25	YB8QT	2330
01.12.	-	31.12.	YP8XMAS	2333*
01.12.22	-	30.06.23	YR1200VT	2333*
01.09.	-		Z6/KN4PRE	2317
28.08.	-		ZA/DG7PX	2317
23.08.	-		ZA/Z35M	2315
12/22	-		ZA15K	2333*
25.08.	-		ZL4/VE6TC	2318
15.07.	-		ZL7/ZL1VV	2311
	-	31.12.	ZL75WARC	2325

* = neu oder aktualisiert
 .. = und andere Calls

QSL-Informationen

3A/F6EXV	via	F6EXV
3A/IR1DCI	via	IK1GPG (B)
3A/PB8DX	via	PB8DX
3A/DL2SBY	via	DL2SBY (d), (L)
3A3A		(L)
3A6M	via	F6EXV ((O)), (B), (L)
3B8/DK6SP	via	DK6SP (B), (L)
3B8/KX7M	via	F5CWU (B)
3B8X	via	PFØX (B), (L)
3B9/MØCFW	via	(L)
3C3CA	via	TA2OM (B), (L), (e)
3X1A	via	F1TMY QSL nur (C)
3Z7ØFI	via	SP9JPA (B)
3Z95PRK	via	SP9MRP (B)
4D3X	via	W3HNC (d), (L)
4K7DK	via	DK1DKE (B)
4L1FP	via	K6VHF (B), (L), (e)
4L8A	via	MØOXO (B-(O)), (L)
4S7RO	via	F6BFH (B), (*)

4U1A	via	UA3DX (B), (L)
4W/JH2EUV	via	JH2EUV (B), (L)
4W/VK1AO	via	VK1AO (L), (e)
4X6FR	via	4X6OM
5A1HA	via	F6BFH (B), (*)
5A1AL	via	5A1AL ((O)), (L)
5B/NP2KY	via	5B-Bureau
5B4AQC	via	DK6SP (B), (L)
5B4AMM	via	UT5UDX (L), (e)
5B4YOTA	via	5B4CY (d), (B)
5C4ØDN	via	CN8DN (d)
5E5R	via	CN8YZ (L), (e)
5H2JK	via	DL8AAI (B)
5H3FM	via	HB9DSP (B), (L)
5H3SE	via	(L)
5H8HZ	via	TA1HZ (d), (L), (e)



5KØT	via	LU1FM (d), (L), (e)
5K0YD	via	IK2DUW (d)
5N/KE5GUR	via	KE5GUR (d), (e)
5P1KZX	via	OZ1KZX (B), (L), (e)
5P1OT	via	SP1OT (B)
5P5Q	via	OZ9XU (B), (L), (e)
5P5T	via	OZ1FDH (L), (e)
5P6MJ	via	OZ6MJ (L), (e)
5P8VW	via	DJ8VW (B), (L), (e)
5Q5CW	via	DL5CW (B), (L)
5Q7DX	via	PA7JWC (B), (L)
5R8CG	via	DL2AWG (B), (L)
5R8FG	via	IZ6BRJ (B)
5R8MM	via	DL2AWG (B), (L)
5R8PA	via	DL2AWG (B), (L)
5R8WG	via	DL2AWG (B), (L)
5R8WP	via	DL2AWG (B), (L)
5R8AL	via	G3SWH (d), (L)
5WØRS	via	IT9YVO (d)
5X3R	via	IK2DUW
5X4E	via	IQ3CO (B); IZ3ZLG (d)
6D5C	via	XE1H (nur (L))
6Y5/4S7RO	via	F6BFH (B), (*)
6Y5/W8YCM	via	W8YCM (d)
6Y6ØHM	via	EA5GL (B)
6Y8LV	via	W8YCM (d)
7A1B	via	EA7FTR (d), (L)
7G1RL	via	HA3JB (d), (L)
7Q5RU	via	R7AL (L)
7Q6M	via	K6ZO (L)
7R19MG	via	(d), (e)

7R7A	via	7X2VFK (d)	A78FIFA	via	QARS-Bureau, (L)
7S7SOP	via	SM7RYR (nur (L))	A722FWC	via	A71A (B), (L), (e)
7T60A	via	7X2DD (d)	A71XX	via	EC6DX (d), (L)
7X2GK	via	IK2DUW (d), (L)	A91ARS	via	EC6DX (d), (L)
7X2VFK	via	7X2DD (d)	A91FTDMC	via	EC6DX (d), (L)
7Y19MG	via	(d), (e)	A91OMA	via	EC6DX (d), (L)
7Z1VD	via	EA5GL (B), (L)	A44A	via	A47RS (B), (L)
7Z92ND	via	HZ1SAR (d)	AHØ/WA7WJR	via	WA7WJR (d), (L)
8A64BALI	via	YH9AA (d), (e)	AH2/WA7WJR	via	WA7WJR (d), (L)
8J1H9ØT	via	JARL-Bureau, (L), (e)	AM100RCE	via	EA4URE
8J3S	via	JK3IJQ (B)	AM23ØCW	via	EA2CW (L), (e)
8N2TY	via	JARL-Bureau, (L), (e)	AM30FEDIEA	via	EA3RKF (d), (e)
8P9NF	via	EA4NF (L)	AM33ØHLM	via	EA3HLM (nur L & (e))
8S0C	via	SM0MPV (B), (L)	AM33ØRKM	via	EA3RKM (L), (e)
8S9J	via	SM5TOG (nur (L))	AM38SDC	via	EA1AUM (B), (L), (e)
8Q7AG	via	IZ2DPX (B), (L)	AM4ØRCH	via	EA3RCH (B), (L), (e)
8Q7QE	via	EA5Q (B), (L)	AM5ØØPCM	via	EA7URF (B), (L), (e)
8Q7TD	via	IK1TDD (B), (L)	AM630VQ	via	EA6VQ (B), (L)
8Z92ND	via	HZ1SAR (d)	AO12ØDRI	via	EA7AMB (B), (e)
9A/DL7MDX	via	DL7MDX (B), (L)	AP2KN	via	F6BFH (B), (*)
9A/F5SNJ	via	F5SNJ (nur (L))	AP2TN	via	N4BAA (World), RW6HS (Russia, d), (L)
9A/W8FNG	via	W8FNG (d), (L)	AP75HA	via	AP2HA (L)
9A/S50IPA	via	S50IPA	AP75HAS	via	VU2SMS (d)
9A/SQ9CNN	via	SP9FIH (B), (L)	AP75SD	via	EA5ZD (B: nur Mail), (e)
9A1WFF/p	via	9A2MF (B)	AU2JCB	via	VU2DSI (d), (e)
9A2Ø22ICM	via	9A6KX (d), (L), (e)	AU75JRO	via	VU2JRO (d), (L), (e)
9A22YOTA	via	9A1A (B), (L)	AU75SMS	via	VU2SMS (d), (L)
9A24ZRF	via	9A7ALZ (B), (L)	AP75TN	via	RW6HS (d)
9A5Y	via	9A7W (B), (L)	AZ1D	via	LU1DX
9A8GHJ/p	via	OE7GHJ (B)	BP0A	via	BV2KS
9H/IV3CTS	via	YT4RA (L), (e)	BW/DJ4JB	via	DJ4JB (B)
9H6LH	via	DL1KJ (B)	BX0QSL	via	BM2JCC, (e)
9H6QE	via	9H1MRC (d)	C37N	via	C37URA (B), (L)
9J2SEU	via	OE3SEU (L)	C6ADX	via	W8GEX (L)
9K2OW	via	EC6DX (d), (L)	C6AGU	via	HA7RY (L), (e)
9K9KSA	via	EC6DX (d), (L)	C6AQ	via	EA5GL (B), (L), (e)
9M100SK	via	9W2TXL (d)	C6AYL	via	W8CAA (L)
9M59SD	via	9W8KIF (d)	C7A	via	UA3DX (B)
9M6NA	via	JE1JKL (B), (L)	C91CCY	via	K3IRV (B)
9N7AA	via	S57DX (d), (L)	CB3W	via	XQ4CW
9V1ZV	via	EA5GL (B), (L), (e)	CB4A	via	CE4UFC
9X5GG	via	F6BFH (B), (*)	CN22JIM	via	RW6HS (d)
A35JP/p	via	JA0RQV (B), (L)	CN23NIL	via	RW6HS (d)
A43KSA	via	EC6DX (d), (L)	CN23NOA	via	CN8NOA
A43UAE	via	A47RS (B), (L), (e)	CO7VI	via	IK2DUW (d) und (L)
A6ØA	via	EA7FTR (d), (L)	CQ3J	via	CT3MD and (L)
A60FIFA/2	via	EA7FTR	CQ9T	via	CT3KN
A65/DL2RMC	via	DL2RMC (B), (L)	CR2X	via	OH2BH (B)
A65DR	via	N4GNR (d), (L)	CR3SI	via	CT1DSV (B)
A61ZX	via	IZ8CLM (B), (L), (e)	CR3Y	via	OM2FY
A62A	via	EA7FTR und (L)	CR6K	via	CT1ILT (O), (d), (L)
A71AU	via	F6BFH (B), (*)	CS2C	via	OK1RF
A71FIFA	via	A71A (B), (L)	CT9ABO	via	OM3GI (d), (L)
A72FIFA	via	QARS-Bureau, (L)	CT9ABV	via	DL5AXX, (L)
A73FIFA	via	A71A (B), (L)	CW3A	via	EA5GL (d), (L)
A74FIFA	via	QARS-Bureau, (L)	CW5X	via	CX2ABC (d)
A75FIFA	via	A71A (B), (L)	CX1ØØB	via	CX1AA (B), (L)
A76FIFA	via	QARS-Bureau, (L)	CX3AT	via	EA5GL (B), (L), (e)
A77FIFA	via	QARS-Bureau, (L)			

CX5A	via	CX2ABC (B), (L), (e)	EA8/IK0RWW	via	IK0RWW
D2TX	via	PA3CMC (L)	EA9KB	via	EA7FTR
D44BM	via	IW2KVT (B)	ED1R	via	EC1KR (B), (L), (e)
D44PM	via	IZ4DPV (d), (B), (L)	ED2C	via	EA2RCF (B)
D4L	via	IK2NCJ (B), (L)	ED2FSF	via	EA2CYC (E-Mail)
D4Z	via	IK2NCJ (B)	ED5HFD	via	EA5HFD (B)
D6ØAE	via	F5GSJ (B), (L)	ED7O	via	EA7EU (d)
D73G	via	HL4CCM (B), (L), (e)	EE44C	via	EC5WR (d), (L), (e)
DA0HQ	via	DL5AXX	EF0F	via	EA4URE (B), (L)
DA0RR	via	DJ5BWD	EF1A	via	EA1X (B), (L)
DAØT	via	DL7AT (B), (L)	EF6T	via	EA3AIR
DA22LGS	via	DL7ACN (B)	EG1FAG	via	EA1JAY (B)
DA2W	via	ON3UN (B)	EG1FPL	via	EA1OK (EUROBURO)
DFØSAX	via	DL3DXX (B), (L)	EG225GVJ	via	(L), (e), (O)
DK05ØBN	via	DK5PD (B), (L), (e)	EG2UNA	via	EA2CW (L), (e)
DK0AJ	via	DH4FE	EG3HAM	via	EA7IXM (d)
DK0DFF	via	DL7AFS (B)	EG4FDA	via	EA4PN (nur (L))
DK0DI	via	DH7ZP (B)	EG4RAM	via	EB4AVN (d), (e)
DK0GYB	via	DK2AJ (B), (e)	EG5NDO	via	EA5URV (B)
DK0SM	via	DL6OCH	EG75AM		nur (e)
DK5T/LH	via	DK5ON (d), (B), (L)	EG7FFP	via	EA7FC
DL0AGU	via	DL1RNT (B)	EG8BRIF	via	EA8BM ((e) only)
DL0AH	via	DG5YHE	EG8JPC	via	EA8CPU
DL0GEO	via	DL2YAK (B), (L), (e)	EH1OSM	via	EA1UVR (B), (L), (e)
DL0JBB	via	DL6YAO (B), (e)	EH1RGC	via	EA1DST
DL0NOT	via	DL1ZAV (B)	EH2EUS	via	EA2TP (B), (L), (e)
DL164ØY	via	DL3CQ (B), (e)	EH2JDZ	via	EA2URV (B)
DL2ØSOTA/p	via	DL6GCA	EH5FPM	via	EA5JDN and (L)
DL6ØLINDAU	via	DL1CBQ (B)	EI/ON6QR	via	ON6QR (B)
DL/AD8FJ	via	E25KAE (B)	EI/SP8ECN	via	SP8ECN
DL/G4OBK/p	via	G4OBK (d), (L)	EI1Y	via	E15JQ (B), (L), (e)
DL/HA7UL/p	via	HA7UL (d), (L)	EJ7EE	via	OZ2I (B)
DL/HB9CYX/p	via	HB9CYX (B), (e)	EL2EF	via	N2OO (L)
DL/ON6ZQ/p	via	ON6ZQ (L), (e)	ES5/LY1FW	via	LY1FW
DL/OK1DOY/p	via	OK1DOY	ET3PG	via	F6BFH (B), (*)
DMØY	via	DL3BQA (B)	EV6Z	via	DL8KAC (d)
DM20OTUS	via	DJ8NU (B)	F/DL3SDE	via	DL3SDE ((e))
DM6ØUEA	via	DL3BUA (B, autom.)	F/PA2S	via	PA2S (B), (L), (e)
DP0POL	via	DL5EBE (B)	FG/F6HMQ	via	F6HMQ (B)
DP5N	via	DJ0ACA	FH/OK1M	via	OK1WMR
DQ8FTDMC	via	DM2RM	FJ/SP9FIH	via	SP9FIH (B), (L)
DR0W	via	DJ5MW	FJ/SP9FUY	via	SP9FUY (B), (L), (e)
DR1ØØRY	via	DF2SD (B), (L), (e)	FJ4WEB	via	K2LIO (d), (e)
DR3K	via	DG1YKW (B)	FK8GX	via	F5MFV (d)
DR4A	via	DJ9KM (B), (L)	FM5BH	via	W3HMK (d), (L)
DR45HAAN	via	DO9MP (B), (O)	FO/DJ6GI		(L), (e)
DU1/PG5V	via	PG5V (d), (B), (L)	FO/F6BCW	via	F6BCW (B)
DU3/W6QT	via	W6QT (B), (L), (e)	FO/K6VVK	via	(L) & (e)
DU7/N7ET	via	N7ET (B), (L)	FP/KV1J	via	KV1J (B), (L)
DV8/KH7EA	via	SP3SUX (B)	FR/OK1M	via	OK1WMR
DX8H		(d)	FY5KE	via	FY1FL (d), (L)
E2WRTC	via	E21EIC (B), (L)	G3M	via	G4PEO (B)
E7/9A3DF	via	9A3DF	G5XV	via	MØOXO ((O)), (L)
E7HQ	via	E70ARA, (L)	G8T	via	GW4SHF (B)
E77DX	via	E73Y (B), (L)	G8X	via	G4FJK (d), (L)
EA3ATO	via	EA3RCI (B), (e)	GBØNFL	via	MØLMK (nur (e))
EA5/ON5EB	via	ON5EB (d), (B), (L)	GB13COL	via	GØVLF (d)
EA6/DK1XAM	via	DK1XAM (d)	GB1CSR	via	MØOLT (B), (e)
EA6/DM7DX	via	DM7DX (B)	GB2HMM	via	GW4TTA (B)

GB5GYD	via	MØCQL ((e))	HQ9X	via	KQ1F (B), (L)
GB5TP	via	MM0DFV	HR5/F2JD	via	F6AJA (B), (L)
GB6OUS	via	MØOXO (B-(O)), (L)	HS0ZJF	via	ON4AFU (d), (B)
GD2NV	via	G2NV (nur (e))	HS0ZNR	via	VK2FY (d), (L), (e)
GJ2A	via	MJ0ASP (d), (L)	HS0ZOA	via	EB7DX (d), (e)
GM2T	via	(B)	HS7AP/p	via	E21IZC
GM4Z	via	GM4ZUK (B), (L)	HVØA	via	IKØFVC (d), (L)
GM6DX	via	MØOXO (B-(O)), (L)	HZ1CY	via	A61BK (d), (L)
GQ4ATA	via	GM4ATA nur (L)	HZ1CPCF	via	HZ1SAR
GS5DX	via	EB7DX and (d), (L)	HZ1UAE	via	HZ1SAR (d)
GS8VL	via	M0OXO ((O)), (L)	HZ92ND	via	HZ1SAR (d)
GUØVJG/p	via	GØVJG (B)	I/HB9BIN/p	via	HB9BIN (B), (L)
GX1FCW		nur (e)	IBØV	via	IU3EDK (B)
GX3WIM	via	G8MNY (L), (e)	IB9T	via	IT9TQH and (L)
GX5BBC	via	G4HPE (B), (e)	IC8/IK6CAC	via	IK6CAC (L), (e)
GX5DX	via	EB7DX (d)	IC8/KL1A	via	OE1ZZZ (d)
GX6ZME/p	via	G3ZME (B)	ID9Y	via	IK8YFU (d), (L), (e)
H44MS	via	DL2GAC (B), (L)	IF9A	via	IT9ATF (B), (L)
H44SHD	via	HB9SHD (B), (e)	IG9/IZ8FFA	via	IZ8FFA (d), (L)
HA/DK7TM	via	DK7TM (B)	I11MM	via	IK1VHX (e)
HA36EUDXF	via	HA5MA (B), (L)	I2FTDM	via	IK2EKO
HA5SPORT	via	HA-(B)	I5RM	via	IK5WOB (B)
HBØ/DJ1AA/m	via	DJ1AA (B), (e)	I7ML	via	IQ7ML ((e))
HBØ/DL2JRM	via	DL2JRM (B)	I9IALU	via	IT9MRM (d), (e)
HBØ/HB9DQM	via	HB9DQM (B), (L)	I9IAKE	via	HE9ERA (B)
HBØ/OE9HRV	via	OE9HRV (B)	I9IGDG	via	IT9DSA (d), (e)
HBØ/PA3CNO	via	PE1FLO	I9JOTA	via	IT9LIZ
HB175RAIL	via	(L)	IK1TNU/IA5	via	IK1TNU
HB5ØSH	nur	(L) & (e)	IK2LEY/ISØ	via	IK2LEY
HB75SG/p	via	HB9KNY (B), (L)	I6/OT1V	via	ON8VM (B), (L), (e)
HB9SPACE	via	HB9ACA	IL7/IK5AEQ	via	IK5AEQ (B), (L), (e)
HC5JHT	via	(L)	IL7/IZ5IUY	via	IZ5IUY (auch (e))
HD1HERO		nur (L)	IM0A	via	IS0BSR ((L) only)
HF0ROSA	via	SP7X (L), (e)	IM0B		nur (L)
HF1ØØL	via	SP9KDR (B)	IN3/DL7CX/p	via	DL7CX (B), (L)
HF1922PS	via	SP9KJU (B), (e)	IN3/HB9BXQ	via	HB9BXQ (B)
HF1Z	via	SP1EG (B), (L)	IP1X	via	IU1JCZ (B)
HF2ØLVK	via	SP4LVK (B), (e)	IP6POPE	via	IZ6BRJ
HF30STB	via	SP9SCI (B)	IQØAK	via	ISØJXO (B), (e)
HF3ØPSP	via	SP9PSJ (B)	IQ1SV	via	IZ1JIZ
HF77DIORA	via	SP3PDO (B)	IQ3DD	via	IZ3NWT (Bureau)
HF800M	via	SP9PKS (B)	IR1DCI/5	via	IK1GPG (B), (L)
HF9FIELD	via	SN9PJ (nur (e))	IR1DCI/8	via	IK1GPG (B), (L)
HF95PRK	via	SP9KJU	IR9K	via	(B), (L)
HG0IDPD	via	HA5MA (d), OQRS (C); keine QSL benötigt	ISØ/DJ2TG/p	via	DJ2TG (L), (e)
HGØWFF	via	HAØHW (B-(O)), (L)	J2ØEE	via	F4DXW (d), (L), (e)
HG1Z	via	HA1XY (B)	J28HJ		(L)
HG1222BA	via	HA4KYB	J28JD	via	EA5GL (B), (L)
HG4I	via	HA5LN	J28MD	via	IK2VUC (B)
HG5A	via	HA5KDQ (B), (L), (e)	J3/N9GB	via	N9GB
HH18NOV	via	N2OO (B)	J43POTA	via	SV3SPD (L), (e)
HH2AA	via	EB7DX (L), (d)	J5GQA	via	CT2GQA (B), (e)
HI8J	via	RW6HS (d), (L)	JD1AJD	via	JA1ADT (B), (L)
HI9/IK2KTE	via	IK2KTE	JW/KA1IS	via	KA1IS (B)
HL77V	via	6KØMF (B)	JWØA	via	K4NHW (B), (L)
HLØ9NWPF	via	HL5BJU (B), (L), (e)	JW7QIA	via	LA7QIA (B), (L)
HP1/EA5XV	via	EA5XV (B)	JW7XK	via	LA7XK (B), (L), (e)
HR9/K6VHF	via	K6VHF (B), (L), (e)	JX/LB4MI	via	LB4MI (B), (L), (e)
			K4C/75	via	N4JR (B)

K4WK/VE3	via	K4WK	OH0CO	via	SM6CCO (d), (L)
KH6/ND0B	via	ND0B (d), (L)	OJ0DX	via	DL3DXX (B-(O)), (L)
KH6ND/W7	via	KH6ND (L)	OJ0JR	via	OH3JR (B), (L)
K5A	via	K5DB (d), (L)	OJ0MR	via	OG2M (d)
K8H	via	W7YQAQ (L)	OK/SQ9MDF/p	via	SQ9MDF (B)
KL7J	via	N3SL (B), (L)	OK5D	via	OK1DTP (B), (L)
KP2/KB5RF	via	KB5RF (nur (L))	OK5M	via	OK5MM (B)
KP2B	via	EB7DX (d), (L)	OK5Z	via	OK2ZI, (L)
KP4/E77DX	via	E73Y (B), (L)	OK8CX/p	via	DL7CX (B), (L)
L2ØD	via	LU3DXG (L), (e)	OK8MA/p	via	SP9MA (B)
L50DY	via	LU8DY (L), (e)	OL1T	via	OK6DJ (B), (L), (e)
L60CBA	via	LU5CBA	OL15SOTA	via	OK1CYC (B), (L)
LA/PE1ITR	via	PE1ITR (B), (L)	OL3Y	via	OK1CRM (B), (L)
LA/SP7VC	via	SP7VC (d), (e)	OL5GMA/p	via	OK3EQ (B), (e)
LA/ON4ROB/P	via	ON4ROB	OMØR	via	OM3GI (d), (L)
LB5SH/p	via	LB5SH (B), (L)	ON/SP7THC	via	SP7THC (d)
LC1R	via	LB5SH (B), (L)	ON37IOF	via	ON7QC (B)
LC5C	via	LA6KOA (B)	OO22FLY	via	nur ON-Bureau
LP1A	via	EA7FTR (L)	OO36EUDXF	via	ON6CC (B), (L)
LV1E	via	LW6EQG (B), (L), (e)	OO7Z/p	via	ON6KZ (B), (e)
LW2DO	via	EC6DX (d)	OP4K	via	ON4JZ and (L)
LX/PA3FQX	via	PA3FQX	OP9T	via	ON5CT, (L)
LY770CT	via	LY1CT and (L)	OQ4U	via	ON4AMX (B), (L)
LY786A	via	LY5A (B)	OQ5M	via	ON5ZO (L), (e)
LZ/OP4L	via	ON4LDK (d), (B)	OR1Ø5ØHERZ	via	ON-Bureau
LZ/SQ2M	via	SQ2M	OR1Z/p	via	ON6IX (d), (e)
LZ0KP	via	SV2CLJ (d), (L)	OR7ØFI	via	OR4K (B)
LZ1Ø5IN	via	LZ1ZF (B)	OR7G/p	via	ON7VG (auch (e))
LZ258ML	via	LZ1KCP (B), (L)	OR78CLM	via	ON6HC (B)
LZ2K	via	LZ4AE	OR8W	via	ON4BDV
LZ25MIG	via	LZ1ZF (B)	OS5Z	via	ON5CAZ (B)
LZ31ZE	via	LZ1KCP (B), (L)	OT4N	via	ON4CN (B), (e)
LZ4A	via	LZ1YQ (d)	OT5IDPD	via	ON6WL (B), (L)
LZ457PP	via	LZ1KCP (B), (L)	OT5Q	via	ON4KNP (B), (L)
LZ540DS	via	LZ1KCP (B), (L)	OU5K	via	OZ1BEF (d)
LZ5G	via	LZ5ET (B)	OV2T	via	PAØABM (B), (L)
LZ6E	via	LZ1GU (B)	OV3T	via	OZ4XL (nur (L))
LZ6T	via	LZ2JA	OV5W	via	OZ1GIN
M/LY4L	via	LY4L (L)	OX7AM	via	OZ1ACB ((O)), (L)
M2J	via	G4NBS (nur (L))	OY7EE	via	OZ2I (B)
M4T	via	M0BEW ((e) only)	OZ50DDXG	via	OZ1ACB (O), (L)
MD7C	via	MØOXO (B-(O)), (L)	OZ5W	via	OZ7QC, (L)
MM1E	via	(L) (kein Bureau)	P29LL	via	EA7FTR (d)
MN5A	via	G3TXF (B), (L)	P29RO	via	DL4SVA (B), (L)
MS0ORK	via	MM5DWW (d)	P3AA	via	RW3RN (d), (B)
MQ0PAM	via	MØPAM (d), (L), (e)	P3X	via	UT5UDX (L), (e)
NØC	via	WØUY (d), (L)	P4ØL	via	WA3FRP (B), (L)
N1N	via	K6ZO (L)	P44W	via	N2MM (d), (L)
NL8F	via	N7RO (d), (L)	PA1VS	via	DE7VSH (B), (L), (e)
OD5ZZ	via	N4GNR (d), (L)	PA22VUELTA	via	PI4UTR
OE05FTDMC	via	OE1SGU (L), (e)	PA6ØCUBA	via	PA1FZH
OE25MFCA	via	OE6XMF (B)	PA6ØEHSB	via	PA5ABW (B)
OE0FTDMC	via	OE6VIE (B-(O)), (L)	PA6ØNN	via	PC4C (B), (L)
OE0HQ	via	OE3KAB (L)	PA75DXCC	via	PA0ABM (O), (L)
OE25TU	via	OE-Bureau	PA9ØØUTR	via	PI4UTR
OE3DIA	via	OE1DIA (d), (e)	PC2ØSAIL	via	PAØRDY (B)
OE5D	via	OE2UKL (B), (e)	PD36EUDXF	via	PA1AW (B), (L)
OE6ØSTMK	via	OE6WIG (B)	PE36EUDXF	via	PA1AW (B), (L)
OE7ØFI	via	OE5FSL (B)	PF01MAX	via	PC2F and (L)

PF36EUDXF	via	PA1AW (B), (L)	SP77DIORA	via	SP6PZB (B)
PF44F	via	(L) (kein Papier)	SP9FIH/VP9	via	SP9FIH (d)
PF6SKCC	via	PG4I	SP95PRK	via	SP9PNB (B)
PF6ØPENM	via	PF9W (B), (L)	SQ75ZOT	via	SP1EG
PGØØT	via	PA2TMS (B), (e)	SQ95PRK		(B)
PG6PEACE	via	PG5FRL (L)	ST2SA	via	F6BFH (B), (*)
PI4COM	via	PA1AW and (L)	SU8X	via	OH2BH (B)
PI4DX	via	PD1DX (d), (B), (L)	SV9/OK6DJ	via	OK6DJ (L), (e)
PI4NTC	via	PG4I	SX1ØØMRH	via	SZ2RWM (d), (e)
PI4RCA/p	via	PA4T (B)	SX14ASTRO	via	SZ1A (B), (L), (e)
PI75ØGAZ	via	PA-(B)	SX2IMA	via	SV2JAO (d), (e)
PJ2/DK5ON	via	DK5ON (d), (B), (L), (C)	SX22HAF	via	SV1AHH (nur L & (e)
PJ2/K5PI	via	K5PI	SX338M		nur (L), (e)
PJ2/VE3CX	via	VE3CX, (L)	SX39J	via	SV2GWY (d), (L), (e)
PJ2/VE3JM	via	VE3JM	SX44JM	via	SV1AHH (L), (e)
PJ2/W9NJY	via	WD9DZV, (L)	SX8AEG	via	SV8MQP (B), (e)
PJ4/K4BAI	via	K4BAI	SZ1KVDD	via	SV1ENG (B), (L)
PJ7/G4JEC	via	NØUK (B), (L)	T88PB	via	JAØJHQ (d), (L)
PP2/DL3SEZ	via	DL3SEZ (B)	T88RC	via	JH1FFW (B), (L), (e)
PQ3G	via	PY3OZ	TA3J/0	via	TA3J (B), (L)
PR1T	via	PY1ZV (nur (L))	TA4/OH2KW	via	OH2KW (B), (L)
PR2R	via	PY2ERA (d), (B), (L)	TA4/SQ9UM	via	SQ9UM (d), (L), (e)
PT5C	via	PY5HC (B), (L), (e)	TC29EKM	via	(e)
PT5J	via	PP5JR und (L)	TC7G	via	YM7KK (d), (L)
PT6B	via	PY6HD (d), (L)	TG9ADM	via	EA5GL (B), (L)
PV2ØØBR	via	PY2KP (B), (L), (e)	TI1FIFA	via	(d), (L)
PV2K	via	EA5GL (B), (L)	TI2VLM	via	EA5ZD (d), (L)
PW2IND	via	PP5AA (B), (e)	TI5/N3KS	via	M0URX (O) und (L)
PX2A	via	PY2VM (d), (L)	TI7/HB9BHU	via	HB9BHU
R1941MB	via	R2DX (B), (L), (e)	TK/S53VWV	via	S53VWV, (L)
R2022DX	via	RQ7L	TK/S57L	via	S57L, (L)
R245GC	via	RW1QN (B), (L), (e)	TK/S57VW	via	S57VW
R50RCR	via	RV3VR	TK0C	via	S50C (d), (B), (L), (e)
R8ØURAN	via	UA4AJD (B)	TMØW	via	F2CT (L), (e)
R7ØØSSR	via	RØSI	TM1MLB	via	F4KMI (B), ((e))
RI41POL	via	RN3RQ (B)	TM1SOTA	via	nur (e)
S21SM	via	OH6EAC (d) und (L)	TM1ØKIY	via	F4KIY (B), (L), (e)
S50HQ	via	S54G (B), (L)	TM109TDF	via	F8GGZ
S79/RM8A	via	RM8A (direct)	TM1ØØBBC	via	F8GGZ (B)
SB6A	via	SA6AOA (nur (L))	TM1ØØCARD	via	F5PTI (B), (L), (e)
SF6F	via	SA6FOL (nur (L))	TM100UNOR	via	F8KHG (B)
SI3A	via	SM3LIV (B), (L), (e)	TM1Ø5BDC	via	F8KGN (B)
SK75BL	via	SK1BL (B, automatisch)	TM11SRY	via	F5KCC
SM/OH2NOS/p	via	OH2NOS	TM13COL	via	F5OGL (L)
SM2M	via	SM2LIY (B), (L), (e)	TM17FFF	via	F4GFE
SN15ØBRAIL	via	SP2PBY (B)	TM17MGF	via	F5KLJ (B)
SN2ØØO	via	SP2PGD (B, automatisch)	TM1SSOU	via	F6KGL
SN2ØØW	via	SP2PGD (B, automatisch)	TM2ØØLP	via	F8GGZ (B)
SN2M	via	SP2XF (d), (B), (L)	TM22CAD	via	F1LPT ((e) only)
SN500GM	via	SP5PMU (B)	TM2ALMA	via	F5PTA (d), (e)
SN5N	via	SP5KP (d), (L)	TM2D	via	F5KHP (e)
SN6J	via	SP6FHU (B)	TM2LD	via	F4GQP (B)
SN89LOT	via	SP1PMY (B)	TM34SCRIP	via	F5JBU (d), (B)
SN8K	via	SQ8ERS (B), (L)	TM35FIST	via	F6JOE (d), (B)
SN95PRK	via	SQ9FMU (B)	TM36EUDX	via	PA1AW (B), (L)
SOØKBW	via	SP3PDO (B)	TM3GGR	via	F6KUF (B); F5OEV (d)
SO95PRK	via	SP9WZO	TM3Z	via	F4DSK (B)
			TM400MO	via	F4DTO (B)
			TM5ØARML	via	F4ILK (B), (e)

TM50SC	via	F6PCT	VK5X	via	VK5DXD ((L))
TM50VAR	via	F4GPB (d), (B)	VK6T	via	EA7FTR (d), (L)
TM55TDL	via	F4IVC (d), (e)	VK75FAA	via	VK2YVA (B)
TM5TD	via	F6KMB	VK8NSB	via	M0URX (O) und (L)
TM55SNSM	via	F4GPB (B), (e)	VK9C	via	EB7DX (d), (L), (e)
TM59TDF	via	F8KGS	VK9CM	via	EB7DX (d), (L), (e)
TM62YT	via	F4GYG (e)	VK9XX	via	EB7DX (d), (L)
TM65M	via	F5RAB	VK90ABC	via	VK1RAS (L), (e) only
TM72LMC	via	F1IEH (L)	VX2I	via	F5JYD (B), (d), (L)
TM72WOW	via	F1IEH (d)	VR25RC	via	VR2RC
TM74CHX	via	F4IRT (B), (L), (e)	VR25XMT	via	VR2XMT (d), (L)
TM78DP	via	F4GPB (B), (e)	VP2ETE	via	W3HNK (d), (L)
TM8AB	via	F4KJQ	VP2MJA	via	VE3WB (L), (e)
TM8GE	via	F6KFI (B)	VP5Y	via	VE3RZ
TM8R	via	F5BNJ (B), (L)	VP8TAA	via	M0OXO (O), (L)
TM90GF	via	F4KLR (B), (e)	WØ /VK3BDL	via	VK3BDL
TM100UNOR	via	REF-Bureau	W1N	via	K6ZO (L)
TO2DL	via	DL7DF ((O)), (L)	W2/JR1AQN	via	JR1AQN (B), (L), (e)
TO5A	via	F5VHJ (B), (L)	W2C	via	N2MC (d)
TO9W	via	W9ILY (O), (L)	W2I	via	W2TMR (d), (L), (e)
TT8SN	via	F8FQX	W3R	via	NY9H
TX7G	via	F6BCW (B,automatisch)	W4G	via	K4DSO (d), (L)
TY0RU	via	R7AL ((O)), (L)	W4T	via	W4ABP (d)
TY5AF	via	(B – (O)), (L)	W7/KH7X	via	KH7X (d), (B)
TZ4AM	via	W0SA (B), (L)	W8W	via	W8KVK (d), (e)
UE32DX	via	RQ7L	XE1HG	via	EA5GL (d), (L)
V26K	via	AA3B (B), (L), (e)	XF1S	via	IT9EJW (B)
V26OC	via	N3OC (d), (L)	XIØX	via	XE1KK (nur (L))
V31XX	via	K4XS (d)	XM3A	via	VE3NOO (B), (e)
V4/NT5V	via	NT5V (B), (L)	XT2AW	via	M0OXO (O) und (L)
V47FWX	via	MØURX (B–(O)), (L)	XV9BPO	via	EA5GL und (L)
V48A	via	WX4G (B), (L), (e)	XV9SB	via	WB4SAB (d)
V48DM	via	N4GNR (B), (L)	XV9K	via	DJ6TF (B), (L)
V5/HB9BFM	via	HB9BFM (B), (L)	XW4KV	via	F4BKV (B), (L)
V5/ZS1WO	via	DH3WO (B)	XZ2B	via	JH3SIF (B), (L)
V51LZ	via	EA5GL (B), (L), (e)	YB0AR	via	EB7DX (d) und (L)
V73MS	via	WV7MS (d), (L)	YBØECT	via	W2FB (d), (L)
V85/F5NPV	via	F5NPV (L), (e)	YB8QT	via	IK2DUW (d), (L)
V85NPV	via	nur (e) & (L)	YH0R		(B), (L), (e)
VB4LIGMA	via	A4BEN	YJØAUS	via	F6BFH (B), (*)
VE2PEACE	via	VE2JCW (d)	YJØCA	via	VK2YUS (d)
VE3KTB/VY0	via	M0OXO (B-(O)), (L)	YJØDA	via	VK4MAP (d)
VG5DX	via	VA5DX (d)	YK1AA	via	F6BFH (B), (*)
VJ2J	via	VK2CZ (d)	YO3IMD	via	YO3KPA (B), (L)
VJ3A	via	VK3JA and (L)	YR1400VT	via	YO6KGS (e)
VJ4K	via	N3SL (B), (L), (e)	YR2X	via	YO2LEA (B), (e)
VJ4T	via	VK4QH (L), (e)	YS1RR	via	F6BFH (B), (*)
VL2B	via	VK2BJ ((L) only)	YR6MUSEUM	via	YO6KNE (B), (L)
VL2G	via	VK2GR ((L) only)	YU/OK1ARI/p	via	OK1ARI (auch (e))
VL2N	via	VK2PN ((L))	Z21LS	via	DE1ZHB (B), 7Z1HB (d)
VL3E	via	VK3TZ and (L)	Z66BCC	via	DL2JRM (B)
VL6C	via	VK6IR (O) und (L)	Z68EE	via	OZ2I (B), (L)
VP2ETE	via	W3HNK, (L)	Z66X	via	OH2BH (B), (L)
VP2MJA	via	VE3WB	Z68XX	via	DL2JRM (B)
VP8TAA/p	via	MØOXO (B- (O)), (L)	ZA/OE6TQG	via	OE6TQG and (e)
VP9/N8QNT	via	N8QNT (B)	ZA/OE8NDR	via	DE1QSL
VP9/SP9FIH	via	SP9FIH	ZA/SQ9MDF/p	via	SQ9MDF (B)
VKØWN	via	VK7WN (B), (L)	ZF1A	via	K7ZO ((O)), (L), (d), (B)
VK36EUDXF	via	VK2WN, (L), (e)	ZF2AA	via	VE3IKV (d)

ZF200	via	WB2REM (d), (L)
ZF2PG	via	K8PGJ (d), (L)
ZF2MJ	via	N6MJ and (L)
ZL1X	via	ZL1BVA (e)
ZL4/VE6TC	via	VE6TC (L), (e)
ZL7/K5WE	via	K5WE (d), (L)
ZL7/ZL1VV		(L)
ZV2X	via	PY2YVN
ZV8C	via	PQ8SL (d), (L)
ZW2ØØESQ	via	PY1JR (B)
ZW2A	via	PY2SGL (d), (B), (L)
ZW7I	via	PY7WM (B), (L)
ZX8F	via	PS8RV (B), (L)
ZY0FUN	via	PY2RN ((O)), (L)
ZZ1S	via	PY1IO (d), (LO)
ZZ200	via	(B), (L)

SNSM	Société Nationale des Sauveteurs en Mer
URE	Unión de Radioaficionados Españoles
WCA	World Castles Award
WLOTA	World Lighthouse On The Air Award
WRTC	World Radiosport Team Championship
WWFF	World Wide Flora & Fauna
YOTA	Youth On The Air

(d) = direkt (B) = Büro ok
(L) = (L) (O) = (O)
(C) = ClubLog (e) = (e)
(*) = neuer Manager (Q) = QRZ.COM
H/c = Homecall

*** Aufgrund der anhaltenden und sich ständig ändernden Situation von COVID-19 auf der ganzen Welt, können die angekündigten Aktivitäten ohne vorherige Ankündigung verkürzt, verschoben oder **sogar abgesagt werden.** ***

Abkürzungen:

ARLHS	Amateur Radio Lighthouse Society
DCI	D.C.I. (Diploma Castelli Italia) http://www.dcia.it/dci/
DCPC	D.C.P.C. (Diploma Castelli Provincia Cuneo)
DFCF	Diplome des Forts et Chateaux de France
DIFM	Diplôme des Iles de la France Métropolitaine
H/c	Homecall
ILLW	International Lighthouse Lightship Weekend
IOCA	Islands Of Croatia Award
IOTA	Islands on the Air
(L)	Logbook of the World
(O)	Online QSL Request System
POTA	Parks On The Air
RDA	Russian District's Award Program
RLHA	Russian Lighthouse Award

Wir bedanken uns für die Mitarbeit an dieser Ausgabe bei: I1JQJ/IK1ADH & 425 DX News, DX World, DXNews.com, VA3RJ, KB8NW & OPDX-Bulletin, DF6EX (für WIN-QSL), DL1BAH, DL1SBF, DL3FF, DL7MAE, EA3HKY, UA1OBA, F6AJA & Les Nouvelles DX, Islands On The Air, NG3K & ADXO, OE2IKN, OM3JW & IDXP, OZ6OM & 50 MHz DX News, W3UR & The Daily DX ...u.a.

Kostenloses Abo DXMB / DXNL:

DXMB Abonnement / DXNL Subscription
<https://www.darcxhf.de/dxmb/>
PDF-Version in Deutsch (farbig, mit Bildern):
<https://www.darc.de/der-club/referate/dx/dxmb/>
TXT-Version deutsch (nur Text, ohne Bilder):
<https://www.darc.de/der-club/referate/dx/dxmb/>
TXT-Version englisch (nur Text, ohne Bilder):
<https://www.darc.de/der-club/referate/dx/en/dxnl/>

Archiv:

<https://www.darc.de/der-club/referate/dx/dxmb/>

DXMB-Homepage:

<https://www.darc.de/der-club/referate/dx/dxmb/>

